

Лаборатория Неорганической Кристаллохимии Кафедра Неорганической Химии, Химический Факультет МГУ

Дифракция рентгеновского излучения. Случай 3D-кристалла. Понятие об обратной решетке.

Содержание

1. Дифракция рентгеновского излучения (РИ) на протяженных объектах

- 1.1 Дифракция РИ на единичном атоме.
- 1.2 Дифракция РИ на протяженной системе
- 1.3 Дифракция РИ на системе атомов.

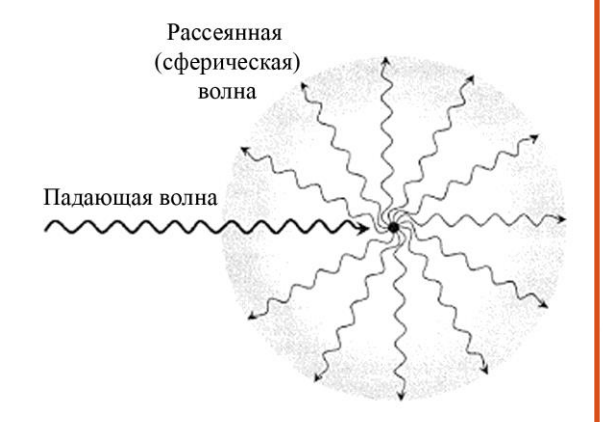
2. Дифракция на 3D кристаллах.

- 2.1 Дифракция РИ на 3D кристалле.
- 2.2 Обратное пространство.
- 2.3 Закон Брегга
- 2.4 Сфера Эвальда
- 2.5 Обратное пространство пространство плоскостей
- 2.6 Еще раз о Законе Брегга.

0.1 Взаимодействие РИ с веществом.

Упругое рассеяние

Релеевское/томсоновское

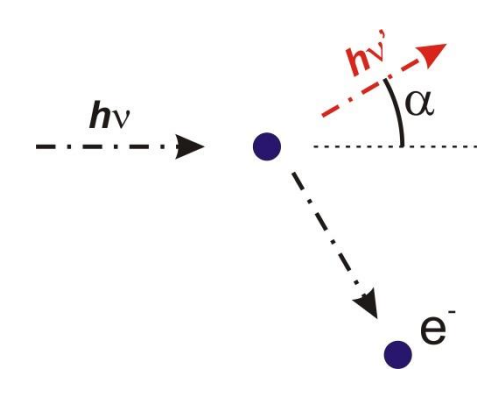


$$\sigma = \frac{8\pi}{3} \left(\frac{q^2}{4\pi \varepsilon_0 mc^2} \right)^2$$

Происходит, в основном, на электронах!

Особенно на сильно связанных (остовных).

Комптон-эффект



$$\lambda' = \lambda + \frac{h}{m_e c} (1 - \cos \alpha)$$

Значительно для слабо связанных (валентных) электронов.

Фотоэффект

$$+ e^{-}(E = hv - \varepsilon_{1s})$$

$$L \begin{cases} 2s & \text{th} & \text{th} \\ 2s & \text{th} \end{cases}$$

$$L \begin{cases} 2s & \text{th} & \text{th} \\ 2s & \text{th} \end{cases}$$

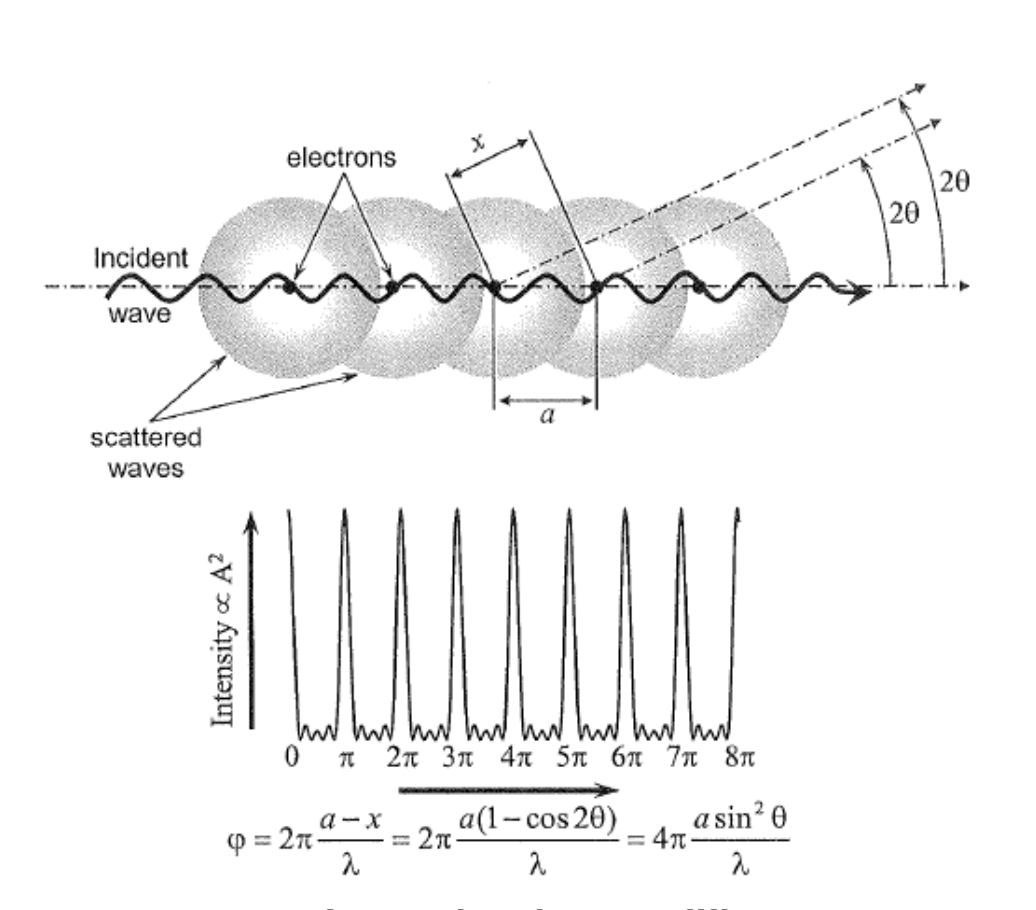
$$K \begin{cases} 1s & \text{th} \\ K \end{cases} \begin{cases} 1s & \text{th} \end{cases}$$

Самый вероятный процесс.

Кстати, после фотоэффекта возможна рентгеновская флуоресценция (XRF)!

И анализ химического состава!

<u>Дифракция рентгеновского излучения – когерентное упругое рассеяние</u> <u>рентгеновского излучения с интерференцией вторичных волн</u>



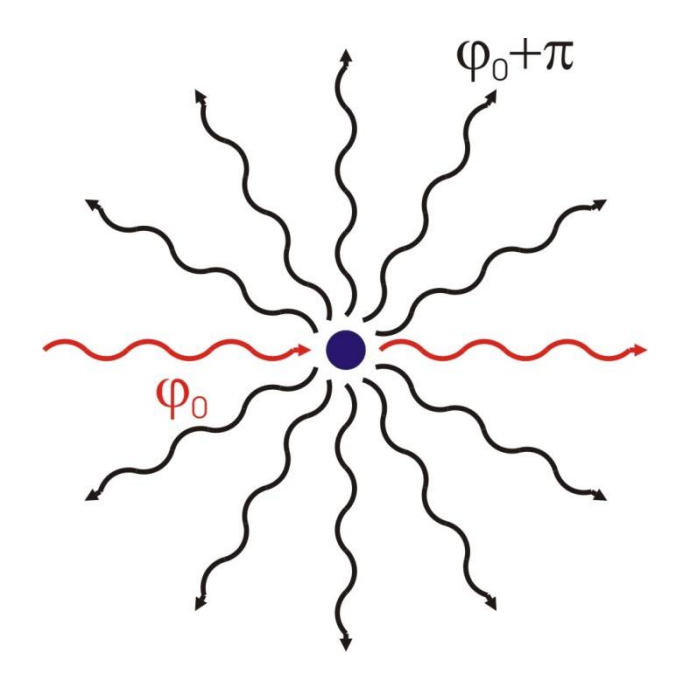
При упругом рассеянии от точечного объекта – сферическая волна

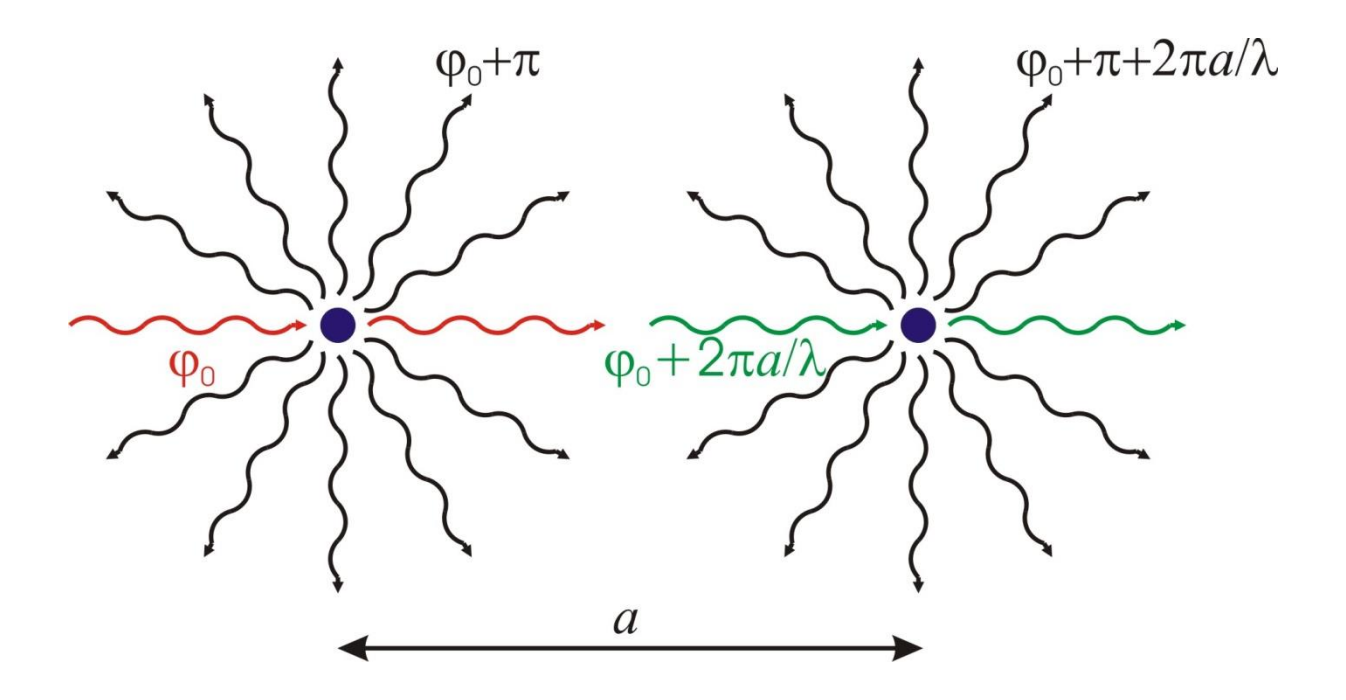
В результате когерентного рассеяния от множественных объектов – интерференция сферических волн, и в результате, появление в пространственном распределении интенсивности (амплитуды) максимумов и минимумов

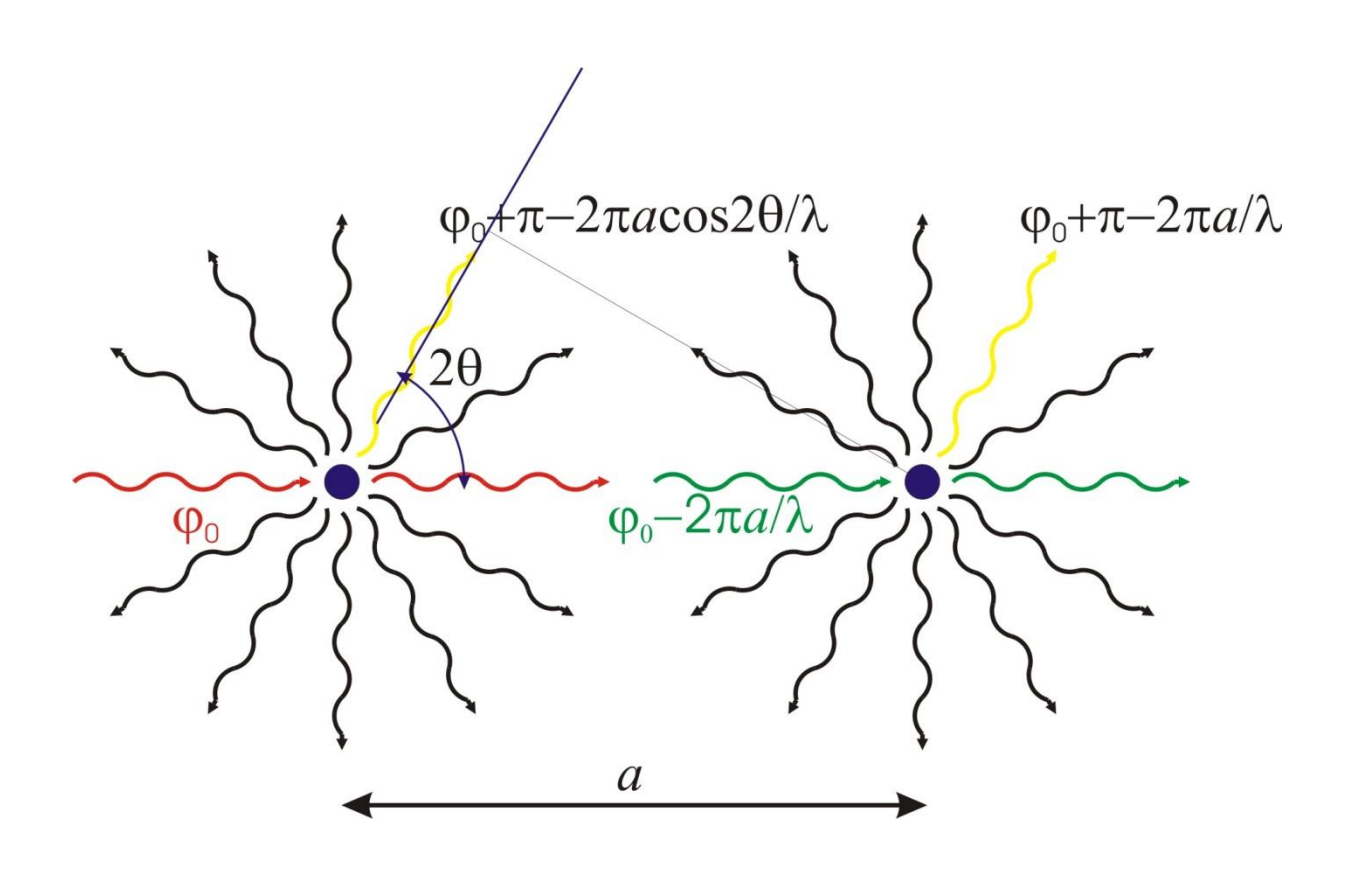
(πο Pecharsky, Zavalij)

Кстати, электронная плотность:

$$\rho(\mathbf{r}) = \int_{\Omega} \Psi(\mathbf{r}_1, \sigma_1, \mathbf{r}_2, \sigma_2, ..., \mathbf{r}_N, \sigma_N) d\mathbf{r}_2 ... d\mathbf{r}_N d\sigma_1 ... d\sigma_N$$



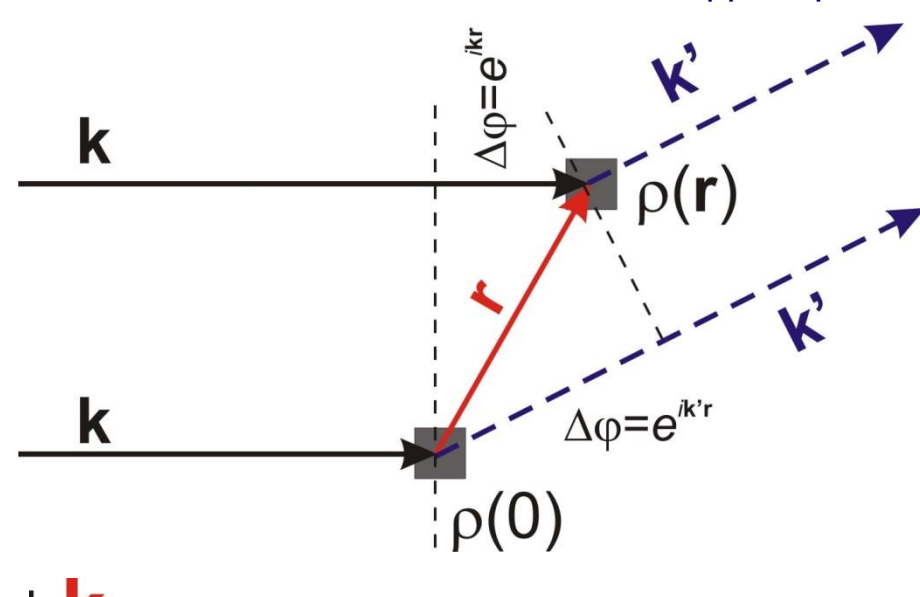




$$|A| \propto \frac{\sin N\phi}{\sin \phi}, \phi = 2\pi \frac{a(1-\cos 2\theta)}{\lambda}$$

Дифракция на протяженном объекте: $\hat{A} = \hat{A}(\hat{A}_0, \mathbf{k}, \mathbf{k}', \rho(\mathbf{r}))$

Пусть $\rho(r) = !, k$ – волновой вектор первичного пучка, k' – волновой вектор дифрагированного пучка



 α

Считая волну плоской и принимая начальную фазу волны в точке $r_0 = 0$ равной ϕ_0 получаем для точки r:

Фаза первичной

 $\Delta \varphi_1 = \mathbf{kr} + \varphi_0$

волны:

 $\Delta \varphi_1' = \mathbf{kr} + \varphi_0 + \pi$

Фаза вторичной волны (точка r):

 $\Delta \varphi_2 = -\mathbf{k'r}$

Фазовый сдвиг вторичной волны относительно референсной

(рассеянной в точке

 $r_0 = 0$)

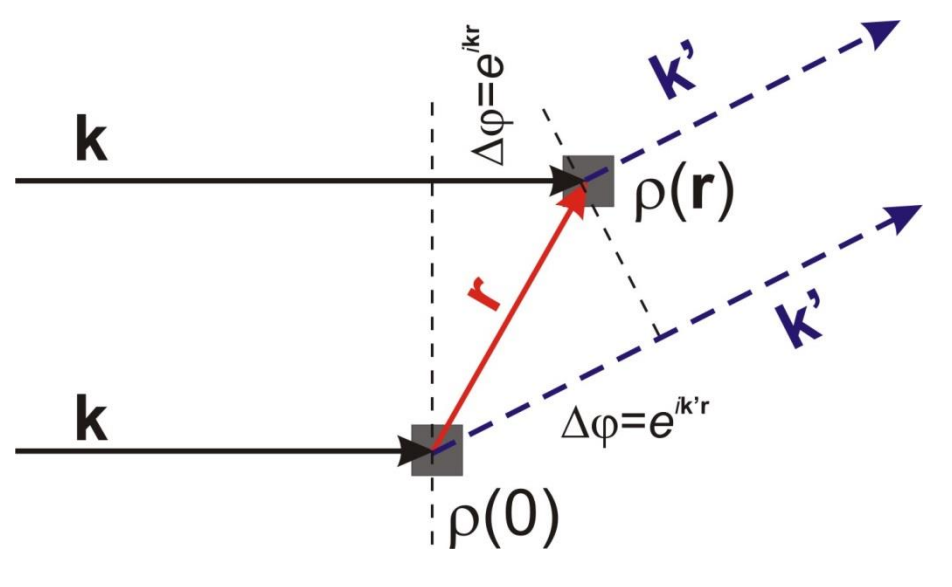
Фаза референсной волны (r = 0):

 $\varphi_0' = \varphi_0 + \pi$

 $\Delta \varphi = |k||r|\cos \alpha = \mathbf{kr}$

ВАЖНО: |k'| = |k| - рассеяние упругое!

Дифракция на протяженном объекте:



Тогда приращение комплексной амплитуды для дифрагированного пучка, рассеянного в точке r в направлении k'

$$d\hat{A}(\mathbf{r}) = A_0(\mathbf{r}) \times \rho(\mathbf{r}) d\mathbf{r} \times e^{i\mathbf{k}\mathbf{r} - i\mathbf{k}'\mathbf{r}} \times e^{i(\varphi_0 + \pi)} =$$
 $= A_0(\mathbf{r}) \times \rho(\mathbf{r}) d\mathbf{r} \times e^{i\mathbf{q}\mathbf{r}} \times e^{i(\varphi_0 + \pi)}$

Здесь $\mathbf{q} = \mathbf{k} - \mathbf{k}'$

Интегрируем комплексную амплитуду по объему (точнее, по всему множеству радиус-векторов) и считая амплитуду постоянной:

$$\hat{A}(\hat{A}_{0},\mathbf{k},\mathbf{k}',\rho(\mathbf{r})) = A_{0}e^{i(\varphi_{0}+\pi)} \times \int \rho(\mathbf{r})e^{i\mathbf{q}\mathbf{r}}d\mathbf{r} =$$

$$= \hat{A}_{0} \int \rho(\mathbf{r})e^{i\mathbf{q}\mathbf{r}}d\mathbf{r}$$

$$\hat{A}({f q}) = \hat{A}_0 \int\limits_V \rho({f r}) e^{i{f q}{f r}} d{f r}$$
 соответствующей Фурье-компоненте электронной плотности

Хорошие новости:

1. Амплитуда рассеянного излучения зависит только от вектора рассеяния

$$\hat{A}(\hat{A}_0, \mathbf{k}, \mathbf{k}') \rightarrow \hat{A}(\mathbf{q} \equiv \mathbf{k} - \mathbf{k}') = \hat{A}_0 \int_V \rho(\mathbf{r}) e^{i\mathbf{q}\mathbf{r}} d\mathbf{r}$$

2. Амплитуда рассеянного излучения пропорциональна амплитуде первичного пучка

$$\hat{A}(\mathbf{q}) = \hat{A}_0 \int_V \rho(\mathbf{r}) e^{i\mathbf{q}\mathbf{r}} d\mathbf{r} = \hat{A}_0 F(\mathbf{q})$$

3. Рассеивающий фактор взаимно однозначно связан с электронной плотностью

$$F(\mathbf{q}) \leftrightarrow \rho(\mathbf{r})$$

4. Все плюсы преобразования Фурье:

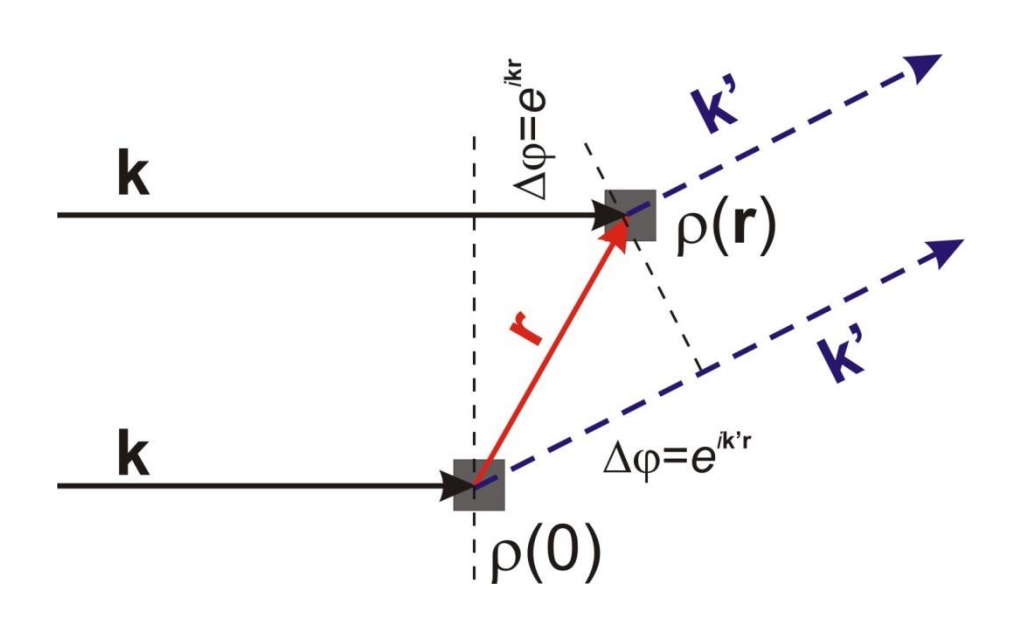
$$F(k_{1}\rho_{1} + k_{2}\rho_{2}) = k_{1}F(\rho_{1}) + k_{2}F(\rho_{2})$$

$$F(\rho_{1} \times \rho_{2}) = F(\rho_{1}) * F(\rho_{2}), F(\rho_{1} * \rho_{2}) = F(\rho_{1}) \times F(\rho_{2})$$

1. Дифракция РИ на протяженных объектах

Приближения кинематической теории дифракции РИ

- 1) $A_0 = \text{Const}$
- 2) Взаимодействие с ЭМ излучением не вносит возмущений в $\rho(r)$
- 3) Вторичное излучение не дифрагирует
- 4) Комптон и фотоэффект не вносят возмущений в упругое рассеяние



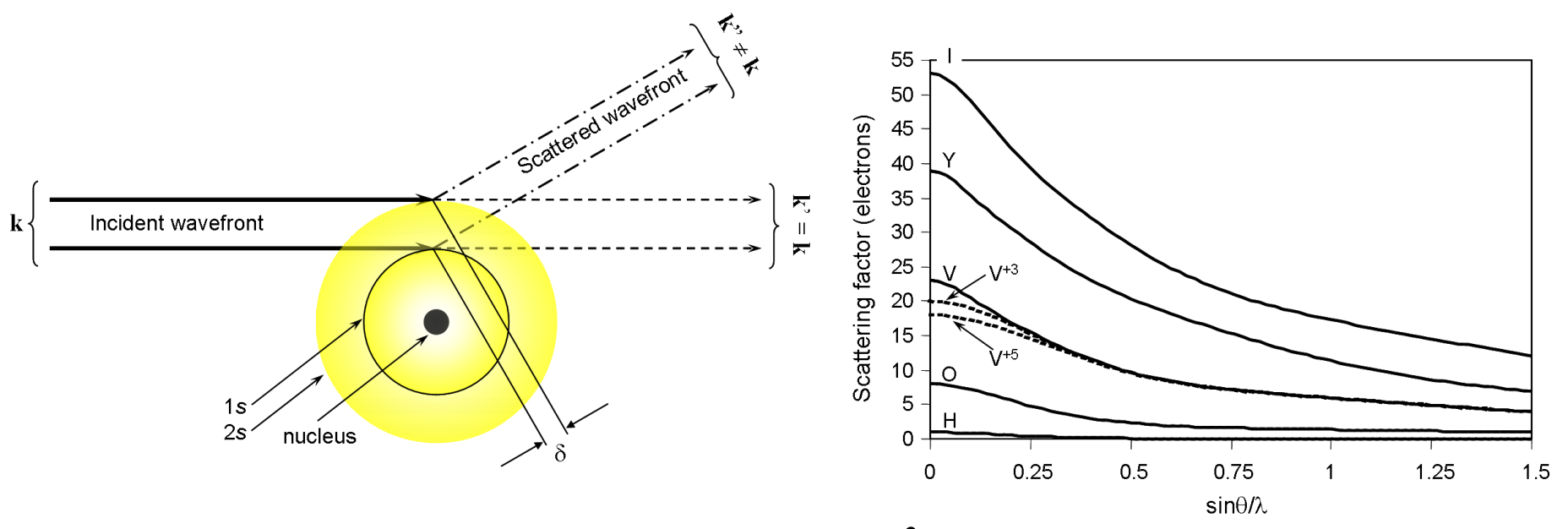
$$\hat{A} = \hat{A}_0 \int_V \rho(\mathbf{r}) e^{i\mathbf{q}\mathbf{r}} d\mathbf{r}$$

$$(q = k - k')$$

амплитуда рассеянного излучения пропорциональна соответствующей Фурье-компоненте электронной плотности

1.1 Дифракция РИ на единичном атоме

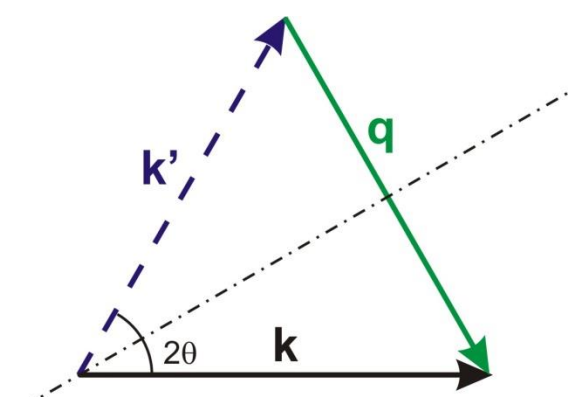
Рассеяние протяженным объектом сферической симметрии (атомом).



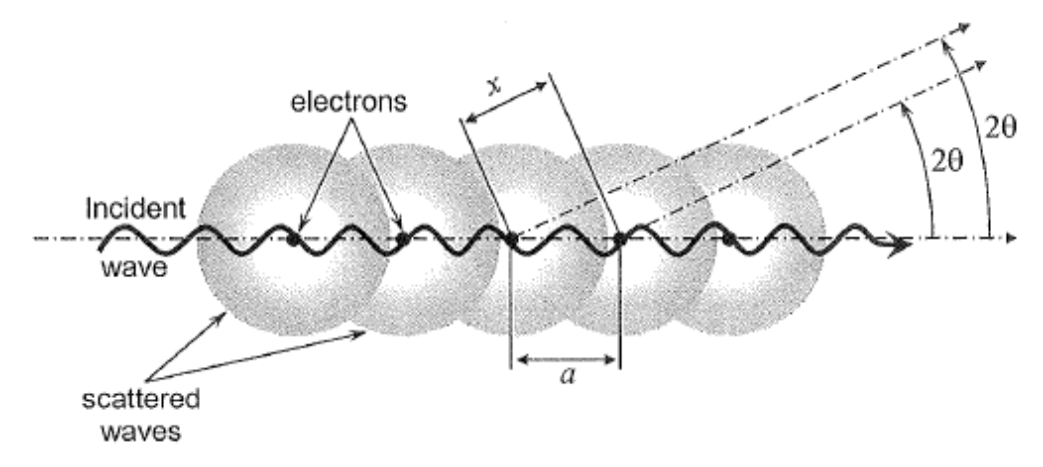
Рассеивающий фактор атома: $F(\mathbf{q}) = \int_V \rho(\mathbf{r}) e^{i\mathbf{q}\mathbf{r}} d\mathbf{r}$, F = Z при $\mathbf{q} = 0$

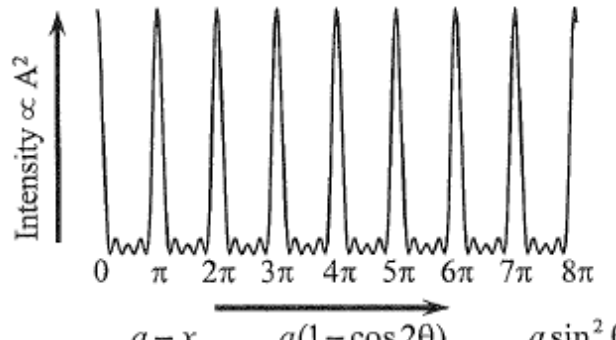
Кстати: удобно ввести координату $\sin\theta/\lambda = |\mathbf{q}/2|$

Рассеивающий фактор атома
–
монотонно уменьшающаяся с |**q**| величина



1.2 Дифракция РИ на протяженной системе





$$\varphi = 2\pi \frac{a - x}{\lambda} = 2\pi \frac{a(1 - \cos 2\theta)}{\lambda} = 4\pi \frac{a \sin^2 \theta}{\lambda}$$

(по Pecharsky, Zavalij)

$$\rho(r) = \sum_{m=0}^{m=N-1} \delta(x - ma, 0, 0) \qquad \hat{A}(\mathbf{q}) = \hat{A}_0 \int_V \rho(r) e^{i\mathbf{q}\mathbf{r}} d\mathbf{r}$$

Система точечных рассеивателей (электронов):

$$\frac{d\varepsilon}{d\Omega} = I_0 n \left(\frac{q^2}{4\pi\varepsilon_0 mc^2}\right)^2 \frac{1 + \cos^2 2\theta}{2}$$

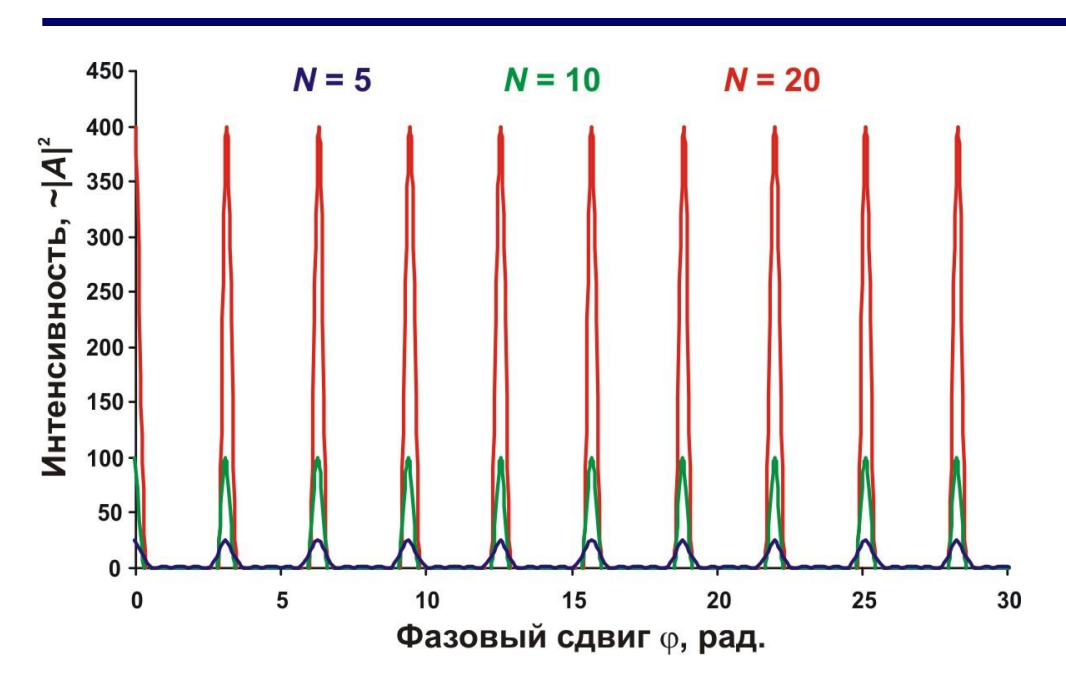
С учетом интерференции вторичных волн:

$$|A| \propto \frac{\sin N\phi}{\sin \phi}, \phi = 2\pi \frac{a(1-\cos 2\theta)}{\lambda}$$

(Фактически, работаем с Фурьеобразом суммы δ -функций)

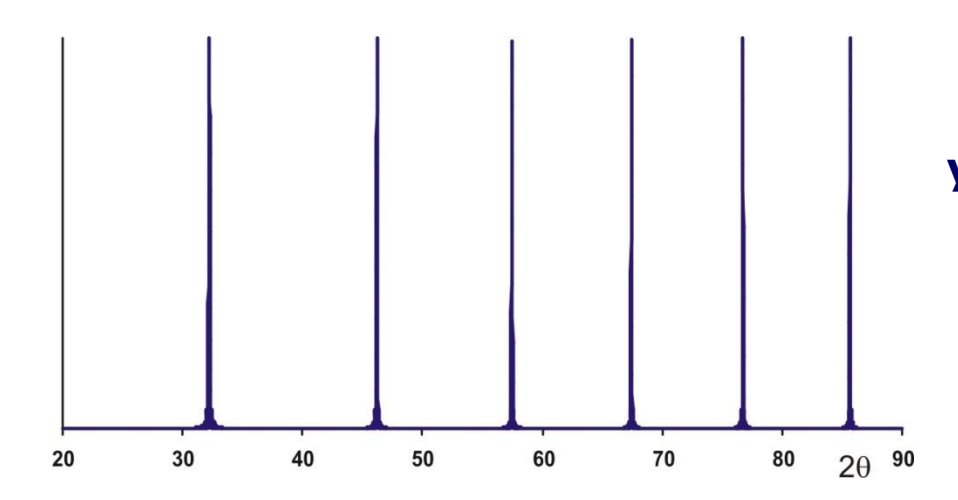
$$\hat{A}(\mathbf{q}) = \hat{A}_0 \int_V \rho(r) e^{i\mathbf{q}\mathbf{r}} d\mathbf{r}$$

1.2 Дифракция РИ на протяженной системе



Чем больше размер системы – тем ближе форма максимума к δ - функции (FWHM \sim 1/N)

Как будет выглядеть «дифрактограмма» от бесконечной системы электронов?



Рассеиватели точечные – без учета поляризационного фактора интенсивности максимумов не зависят от угла

1.3 Дифракция РИ на системе атомов

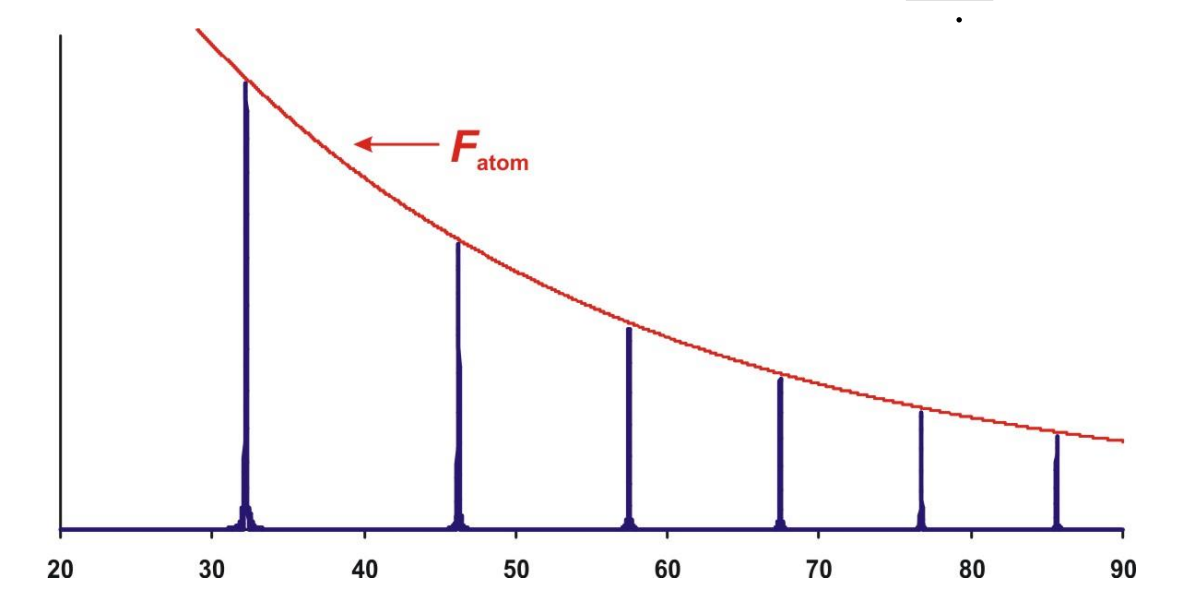
Как будет рассеиваться РИ на системе <u>атомов</u>?

Предположим, что электронная плотность системы: $\rho(\mathbf{r}) = \sum_{j} \rho_{atom}^{j} (\mathbf{r}_{atom} + \mathbf{r}_{j})$ Тогда Фурье-образ электронной плотности:

$$F(\mathbf{q}) = \int_{V} \rho(\mathbf{r}) e^{i\mathbf{q}\mathbf{r}} d\mathbf{r} = \int_{V} \sum_{j} \rho_{atom}^{j} (\mathbf{r}_{atom} + \mathbf{r}_{j}) e^{i\mathbf{q}\mathbf{r}} d\mathbf{r} = \sum_{j} e^{i\mathbf{q}\mathbf{r}_{j}} \int_{V} \rho_{atom}^{j} (\mathbf{r}_{atom}) e^{iq\mathbf{r}_{atom}} d\mathbf{r} = \sum_{j} e^{i\mathbf{q}\mathbf{r}_{j}} F_{atom}^{j} (\mathbf{q})$$

Т.е. амплитуда рассеяния на системе из атомов:

$$\hat{A}(\mathbf{q}) = \hat{A}_0 \sum e^{i\mathbf{q}\mathbf{r_j}} F_{atom}^{j}(\mathbf{q})$$



Рассеиватели протяженные – интенсивность максимумов спадает как $F_{\rm atom}$

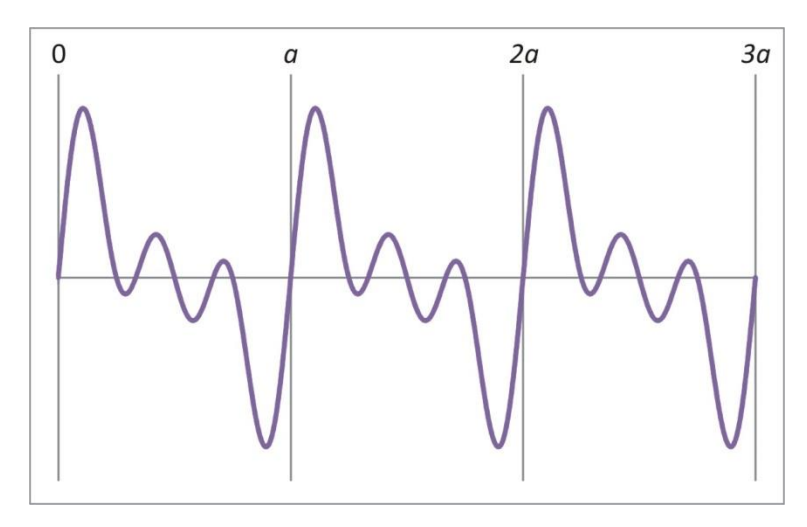
Все функции физ. величин в кристалле обладают периодичностью:

$$T_{nmp}(\rho(\mathbf{r})) = \rho(T_{nmp}(\mathbf{r})) = \rho(\mathbf{r}) \forall n, m, p \in \mathbb{Z}$$

Каково Фурье-представление трехмерной периодической функции?

Э-э-э... М.б. сначала – для одномерной?

$$T_n[g(x)] = g(T_n[x]) = g(x)$$



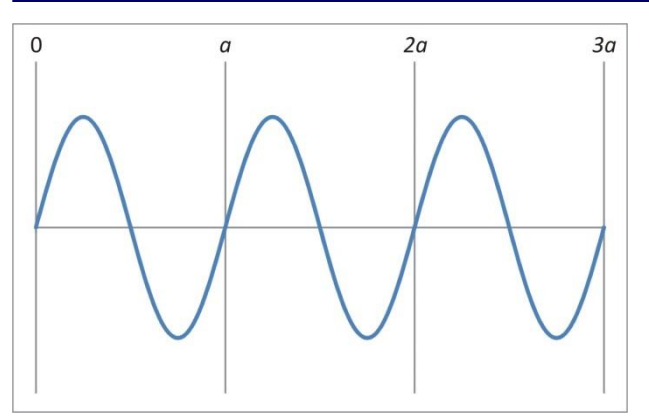
$$f_0 = 0, f_1 = 1, f_2 = 1, f_3 = 1, f_4 = 0...$$

$$\mathbf{x}' = T_n(\mathbf{x}) = \mathbf{x} + n\mathbf{a}, \quad n \in \mathbb{Z}$$

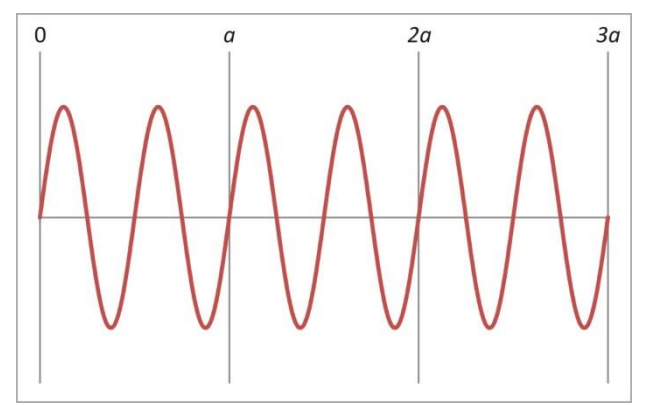
Периодические функции могут быть представлены рядом Фурье:

$$g(x) = \sum_{h} f_{h} e^{2\pi i \frac{h}{a}x}$$

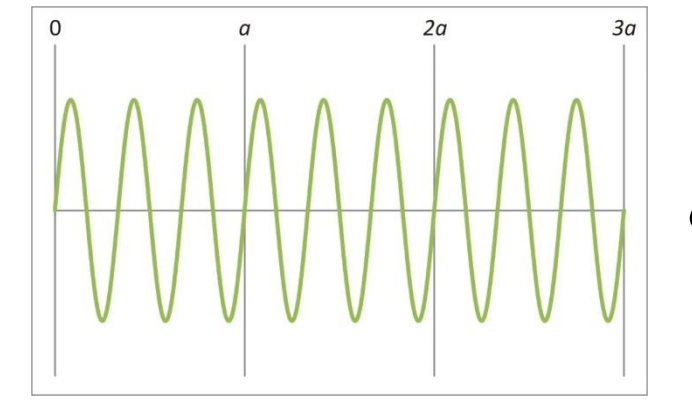
$$f_h = \frac{1}{a} \int_0^a g(x) e^{-2\pi i \frac{h}{a}x} dx$$



$$e^{2\pi i \frac{1}{a}x} = e^{2\pi i k_1 x}, k_1 = 1 \times \frac{1}{a}$$



$$e^{2\pi i \frac{2}{a}x} = e^{2\pi i k_2 x}, k_2 = 2 \times \frac{1}{a}$$



$$e^{2\pi i \frac{3}{a}x} = e^{2\pi i k_3 x}, k_3 = 3 \times \frac{1}{a}$$

Плоские волны, периодические на *а*

$$k_h = h \times \frac{1}{a}$$
$$h \in Z$$

$$T_{m} \to ma$$

$$k_{h} \times ma = h \times m$$

$$h, m \in Z$$

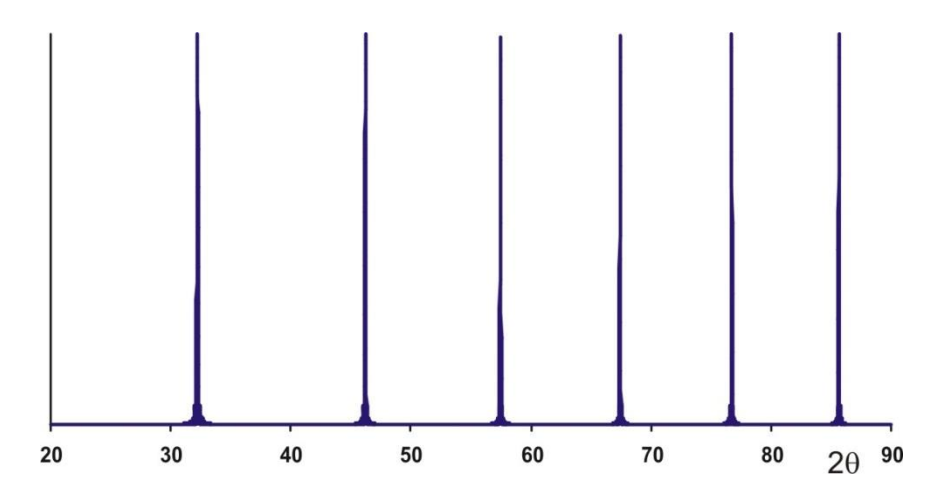
Так Фурье-представление-то каково?

$$g(x) = \sum_{h} f_h e^{-2\pi i k_h x}$$

$$F(q) = \int_{-\infty}^{+\infty} g(x)e^{2\pi i qx} = \sum_{h} f_{h} \int_{-\infty}^{+\infty} e^{2\pi i qx} e^{-2\pi i k_{h} x} = \sum_{h} f_{h} \delta(q - k_{h})$$

$$f_h = \frac{1}{a} \int_0^a g(x) e^{2\pi i kx} dx$$

Итак, Фурье-представление периодической функции есть сумма дельта-функций.
Положение максимумов зависит от периода.



А что меняется для трехмерной функции?

$$T_{nmp}(\rho(\mathbf{r})) = \rho(T_{nmp}(\mathbf{r})) = \rho(\mathbf{r}) \forall n, m, p \in Z$$

$$\mathbf{r}' = T_{nmp}(\mathbf{r}) = \mathbf{r} + n\mathbf{a} + m\mathbf{b} + p\mathbf{c}, \quad n, m, p \in Z$$

И опять Фурье-ряд – только трехмерный.

$$g(\mathbf{r}) = \sum_{\mathbf{k}} f_{k} e^{-2\pi i \mathbf{k} \mathbf{r}}$$

$$\mathbf{k} \cdot \mathbf{r}_{mnp} = \mathbf{k}(m\mathbf{a} + n\mathbf{b} + p\mathbf{c}) \in Z$$

Последнее условие – просто условие периодичности на решетке.

Как определить множество векторов **k** в трехмерном случае?

2.2 Обратное пространство

Обратное пространство: пространство с базисом из обратных векторов а*, b*, с*

$$a^* \cdot a = b^* \cdot b = c^* \cdot c = 1$$

 $a^* \cdot b = a^* \cdot c = b^* \cdot a = b^* \cdot c = c^* \cdot a = c^* \cdot b = 0$

Исходя из указанных условий, получаем:

$$\mathbf{a}^* = \frac{\left[\mathbf{b} \times \mathbf{c}\right]}{\mathbf{a} \cdot \left[\mathbf{b} \times \mathbf{c}\right]}, \mathbf{b}^* = \frac{\left[\mathbf{c} \times \mathbf{a}\right]}{\mathbf{b} \cdot \left[\mathbf{c} \times \mathbf{a}\right]}, \mathbf{c}^* = \frac{\left[\mathbf{a} \times \mathbf{b}\right]}{\mathbf{c} \cdot \left[\mathbf{a} \times \mathbf{b}\right]}$$

Тогда $\mathbf{k}_{hkl} = h\mathbf{a}^* + k\mathbf{b}^* + l\mathbf{c}^*$

$$\mathbf{k}_{hkl} \cdot \mathbf{r}_{mnp} = (h\mathbf{a}^* + k\mathbf{b}^* + l\mathbf{c}^*) \cdot (m\mathbf{a} + n\mathbf{b} + p\mathbf{c}) = hm + kn + lp$$

Очевидно, что взаимная ориентация прямого и обратного пространства кристалла однозначна. Обратные вектора = обратная решетка.

$$\mathbf{a}^* = \frac{1}{a}\mathbf{e}_a, \mathbf{b}^* = \frac{1}{b}\mathbf{e}_b, \mathbf{c}^* = \frac{1}{c}\mathbf{e}_c$$
 - для орторомбической сингонии

2.3 Закон Брегга

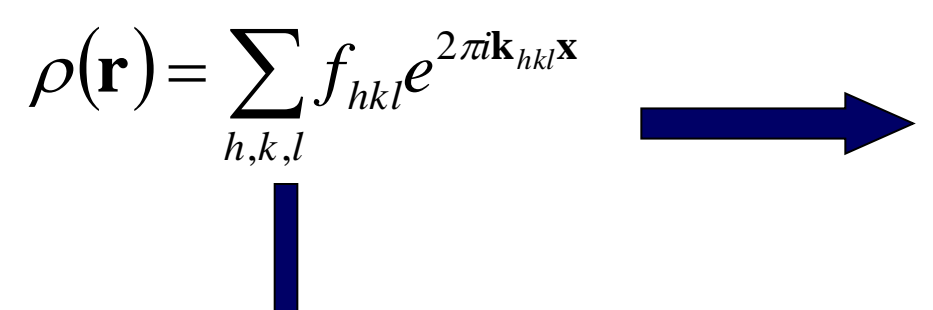
Распределение амплитуд рассеянного излучения есть Фурье-образ электронной плотности

$$\hat{A} = \hat{A}_0 \int_V \rho(\mathbf{r}) e^{i\mathbf{q}\mathbf{r}} d\mathbf{r}$$

Обратное пространство – также пространство дифракционных векторов q

Для периодической функции $\rho(r)$ Фурье-образ:

Закон Брегга в векторной форме:



$$\mathbf{k'} - \mathbf{k} = \mathbf{q} = \mathbf{q}_{hkl}$$

где q_{hkl} – вектор обратной решетки кристалла

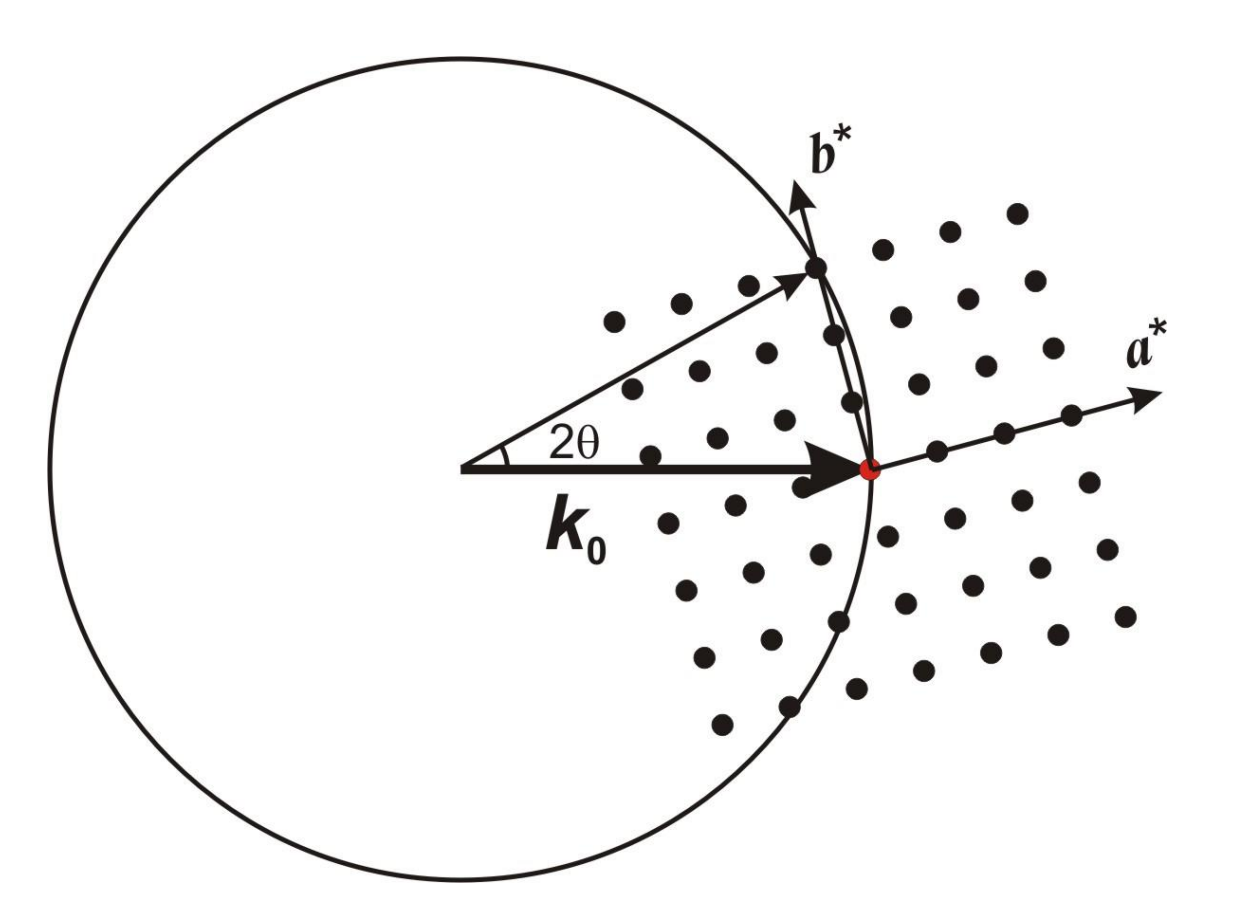
$$F\rho(\mathbf{r}) = \sum_{h,k,l} f_h \delta(\mathbf{q} - \mathbf{k}_{hkl})$$

$$\frac{\textit{Уравнения Лауэ}}{a(\cos\alpha_1 - \cos\alpha_2) = h\lambda}$$
$$b(\cos\beta_1 - \cos\beta_2) = k\lambda$$
$$c(\cos\gamma_1 - \cos\gamma_2) = l\lambda$$

2.4 Сфера Эвальда

Сфера Эвальда – удобный геометрический образ для описания дифракции на монокристалле

- 1. Сфера волновых векторов условие упругого рассеяния
- 2. Разность между волновыми векторами вектор обратной решетки

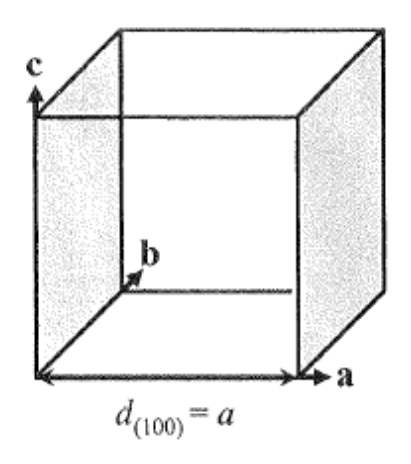


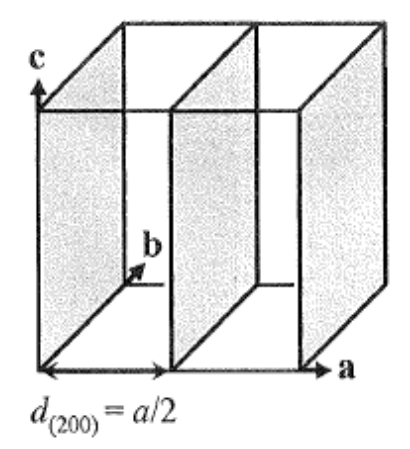
Каждый рефлекс характеризуется (hkl) – индексами Миллера

Рефлекс (030) – в отражающем положении

2.5 Обратное пространство – пространство плоскостей.

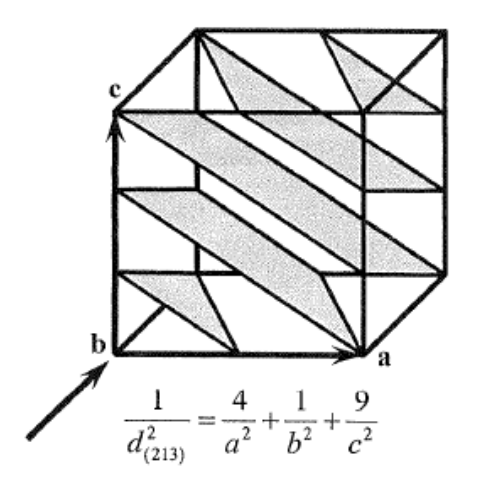
<u>Кристаллографические плоскости – параллельные плоскости, пересекающие все(!) узлы кристаллической решетки</u>





Плоскости (100)

Плоскости (200)



Индексы кристаллографической плоскости (hkl)— число долей, на которые делит плоскость оси a,b,c

$$h,k,l \in Z$$

Индексы (*hkl*) – индексы Миллера

- 1. Реальных плоскостей в кристалле не существует!
 - 2. Кристаллографические плоскости параллельны друг другу
 - 3. Расстояние между кристаллографическими плоскостями т.н. межплоскостное расстояние $d_{\rm hkl}$ важный параметр в теории дифракции

2.5 Обратное пространство – пространство плоскостей.

Как рассчитать межплоскостное расстояние для набора плоскостей (hkl)?

Можно показать, что $d_{\rm hkl}=1/d_{\rm hkl}^*$, где

$$d*_{hkl} = |ha*+kb*+lc*|$$

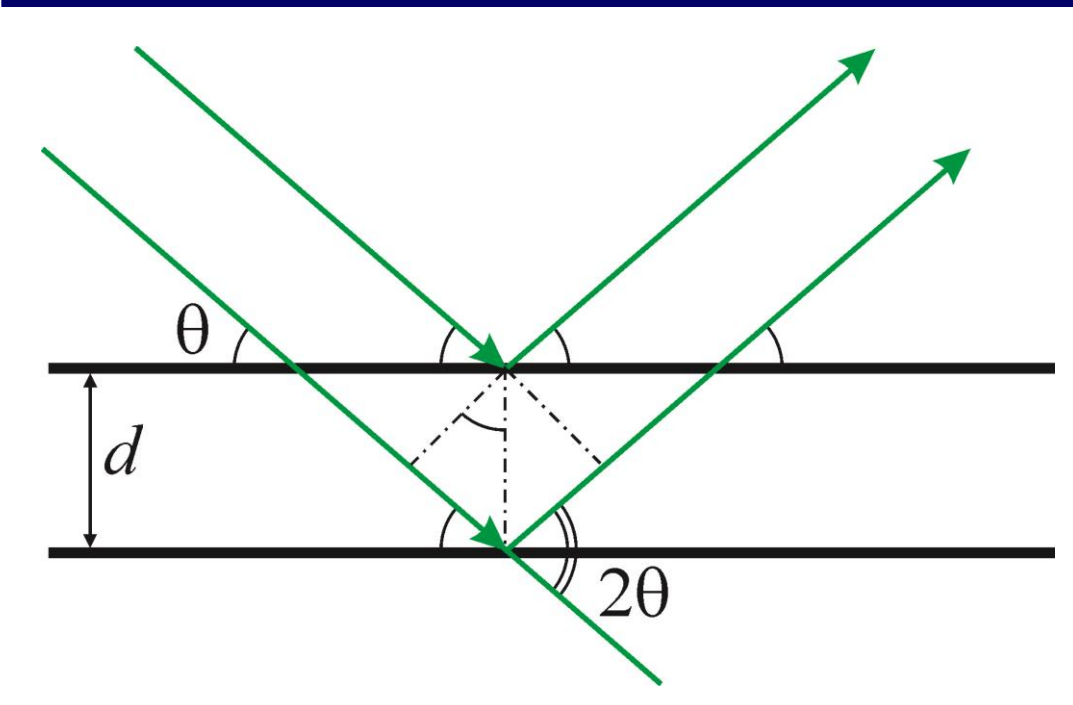
Например, для кубической ячейки:

С другой стороны, вектора а*,b*,с* - вектора обратной ячейки!

В обратном пространстве каждый узел (h,k,l) соответствует набору плоскостей (hkl) в прямом пространстве

Очевидно, что
$$1/d_{hkl} = |q_{hkl}|$$

2.6 Еще раз о Законе Брегга



Разность хода волн:

$$\Delta = d\sin\theta + d\sin\theta = 2d\sin\theta$$

Условие позитивной интерференции:

$$\Delta = n\lambda$$

Закон Брегга-Вульфа:

- 1. Дифракцию можно рассматривать как отражение от кристаллографических плоскостей
- 2. Положение максимумов (рефлексов) выражается следующим образом:

$$2d\sin\theta = n\lambda$$

Summary

1. В кинематическом приближении протяженные системы рассеивают как

$$\hat{A} = F(\mathbf{q})\hat{A}_0, \quad F(\mathbf{q}) = \int_{\mathcal{A}} \rho(\mathbf{r})e^{i\mathbf{q}\mathbf{r}}d\mathbf{r}$$

 $\hat{A}=F(\mathbf{q})\hat{A}_{0}, \quad F(\mathbf{q})=\int\limits_{V}
ho(\mathbf{r})e^{i\mathbf{q}\mathbf{r}}d\mathbf{r}$ 2. Для системы, состоящей из атомов $F(\mathbf{q})=\sum\limits_{V}e^{i\mathbf{q}\mathbf{r_{j}}}F_{atom}^{\ j}(\mathbf{q})$

j 3. Для 3D кристалла мы можем рассчитать положения максимумов:

$$\mathbf{a}^* = \frac{\left[\mathbf{b} \times \mathbf{c}\right]}{\mathbf{a} \cdot \left[\mathbf{b} \times \mathbf{c}\right]}, \mathbf{b}^* = \frac{\left[\mathbf{c} \times \mathbf{a}\right]}{\mathbf{b} \cdot \left[\mathbf{c} \times \mathbf{a}\right]}, \mathbf{c}^* = \frac{\left[\mathbf{a} \times \mathbf{b}\right]}{\mathbf{c} \cdot \left[\mathbf{a} \times \mathbf{b}\right]}$$

$$\mathbf{k'-k} = \mathbf{q}_{hkl}, \quad \mathbf{q}_{hkl} = h\mathbf{a}^* + k\mathbf{b}^* + l\mathbf{c}^*$$

$$\frac{1}{d_{hkl}} = |\mathbf{q}_{hkl}|, \quad 2d \sin \theta = \lambda$$